

超関数への数値的接近

日大 理工 竹澤 照

序. 1920 年後半に Dirac は連続固有値の直交規格化の関係を離散固有値のそれと全く同様に形式的に扱うために、無限大の量を表わす $\delta(x)$ を導入し、

$$\delta(x) = 0 \quad (x \neq 0), \quad \delta(0) = +\infty, \quad \int_{-\infty}^{\infty} \delta(x) dx = 1$$

と定義した。しかしこのような性質をもつ通常の関数は存在しない。にもかかわらず彼は名著「量子力学」の中で数学的には正しいとはいえない演算で、物理的には正しい種々の結果を与えている。Dirac 自身、 $\delta(x)$ は象徴的な意味のものであって、通常の関数のようにおのおのの x の値に対して関数の値が定まるものではなく、積分 $\int_{-\infty}^0 \delta(x) dx = \begin{cases} 0 & (x < 0) \\ 1 & (x > 0) \end{cases}$ に意味を持たせ、通常の関数と區別し *improper function* と呼んでいる。この奇形な関数が Dirac の delta 関数と呼ばれ導入された最初の超関数である。以来、数学的正当性を与える幾多の研究が多くの数学者によってなされ、超関数の理

論が飛躍的に進歩し、1950年に Schwartz の *distribution*²⁾ で一応の集大成をみた。^{注)} しかし関数空間・位相等の定義や記号の使用が、数学者以外には難解で近き難いものであった。1955年に Mikusinski³⁾ の考へを受けついで Temple⁴⁾ が超関数, *generalized function* を関数列によつて定義するという古典解析学で使われる概念だけを用いて平易な形に表現しなおした。更に Lighthill⁵⁾ や Gel'fand⁶⁾ によつて簡単化され、一層近き易いものとなった。更に一歩進め、筆者は宇野・洪⁷⁾ の考へを受けつぎ、現実の問題の中で超関数を扱い、それらへの数値的接近を試みたものである。即ち超関数は象徴的なものであっておのおのの点での関数の値が定まるものではないとすることに逆らい、超関数といえども関数値が定まり、グラフも描けることを主張する。本論文では亦一種フレドホルム型積分方程式の解に現われる超関数及熱伝導方程式の初期値問題の逆問題として、初期値に現われる超関数を扱う。特に衝撃・パルス・一点集中応力トルクなどとしていたるところで登場するデルタ関数及その導超関数について例示し、その直観を与へ、より一層超関数を身近なものとする。

注) その後の発展に佐藤の *hyper function* や *ultra-hyper function* がある。

§1 Temple は超関数を「基本列 $\{f_\nu(x)\}$ は一つの超関数 $f(x)$ を定める」と定義している。

基本列とは $\lim_{\nu \rightarrow \infty} \int_{-\infty}^{\infty} f_\nu(x) F(x) dx$

が存在するような関数列 $\{f_\nu(x)\}$ のことである。但し $f_0(x)$ も $f(x)$ もいたるところ微分可能であり且すべて $\alpha \in \mathbb{N}$ に対して関数自身とそのすべての導関数が $|x| \rightarrow \infty$ で $O(|x|^{-\alpha})$ とする(このような性質をもつ関数を良い関数又は急減少関数と呼ぶ)。又関数列 $\{f_\nu(x)\}$ が超関数 $f(x)$ の導超関数を与へるものであるとしている。この操作を繰り返すことにより $f(x)$ の m 階導超関数 $f^{(m)}(x)$ を定める基本列を作ることが出来る。良く知られているように

$$\text{関数列 } \begin{cases} \{\sqrt{\nu/\pi} e^{-\nu x^2}\}, \\ \{\nu/\pi(1+\nu^2)\} \\ \{\sin \nu x/\pi x\} \end{cases}$$

は $\delta(x)$ に収束する基本列である。以下に $\{ \frac{d^m}{dx^m} f_\nu(x) \}$ を列挙し、それらを図示する。

関数列 $\{\sqrt{\nu/\pi} e^{-\nu x^2}\}$ に対して:

$$\{\sqrt{\nu/\pi} e^{-\nu x^2}\}' = -2\nu\sqrt{\nu/\pi} x e^{-\nu x^2}$$

$$\{\sqrt{\nu/\pi} e^{-\nu x^2}\}'' = -2\nu\sqrt{\nu/\pi}(1-2\nu x^2) e^{-\nu x^2}$$

$$\{\sqrt{\nu/\pi} e^{-\nu x^2}\}''' = \sqrt{\nu/\pi} e^{-\nu x^2} (12\nu^2 x - 8\nu^3 x^3)$$

$$\{\sqrt{\nu/\pi} e^{-\nu x^2}\}^{(IV)} = \sqrt{\nu/\pi} e^{-\nu x^2} (12\nu^2 - 48\nu^3 x^2 + 16\nu^4 x^4)$$

4

$$\{\sqrt{\nu/\pi}e^{-\nu x^2}\}^{(V)} = \sqrt{\nu/\pi}e^{-\nu x^2} (-120\nu^3 x + 160\nu^4 x^3 - 32\nu^5 x^5)$$

fig 1 の上がこれらを図示したものである。 ($\nu = 5, 15, 45$)

関数列 $\{\epsilon/\pi(x^2+\epsilon^2)\}$ 但し $\epsilon=1/\nu$ に対して

$$\{\epsilon/\pi(x^2+\epsilon^2)\}' = -2\epsilon x/\pi(x^2+\epsilon^2)^2$$

$$\{\epsilon/\pi(x^2+\epsilon^2)\}'' = -2\epsilon(-3x^2+\epsilon^2)/\pi(x^2+\epsilon^2)^3$$

$$\{\epsilon/\pi(x^2+\epsilon^2)\}''' = -24\epsilon x(x^2-\epsilon^2)/\pi(x^2+\epsilon^2)^4$$

$$\{\epsilon/\pi(x^2+\epsilon^2)\}^{(IV)} = -24\epsilon x(x^2-\epsilon^2)/\pi(x^2+\epsilon^2)^4$$

$$\{\epsilon/\pi(x^2+\epsilon^2)\}^{(V)} = -240\epsilon(3x^5-10\epsilon^2 x^3+3\epsilon^4 x)/\pi(x^2+\epsilon^2)^6$$

fig 1. の中段がこれらを図示したものである。

($\nu = 5, 10, 15$)

関数列 $\{\sin \nu x/\pi x\}$ に対して

$$\{\sin \nu x/\pi x\}' = (\nu x \cos \nu x - \sin \nu x)/\pi x^2$$

$$\{\sin \nu x/\pi x\}'' = \{-2\nu x \cos \nu x + (2-\nu^2 x^2) \sin \nu x\}/\pi x^3$$

$$\{\sin \nu x/\pi x\}''' = \{\nu x(6-\nu^2 x^2) \cos \nu x - 3(2-\nu^2 x^2) \sin \nu x\}/\pi x^4$$

$$\{\sin \nu x/\pi x\}^{(IV)} = \{(-24\nu x + 4\nu^3 x^3) \cos \nu x + (24 - 12\nu^2 x^2 + \nu^4 x^4) \sin \nu x\}/\pi x^5$$

$$\{\sin \nu x/\pi x\}^{(V)} = \{(120\nu x - 20\nu^3 x^3 + \nu^5 x^5) \cos \nu x \\ + (-120 + 60\nu^2 x^2 - 5\nu^4 x^4) \sin \nu x\}/\pi x^6$$

fig 1. の下段がこれらを図示したものである。 ($\nu = 7$)

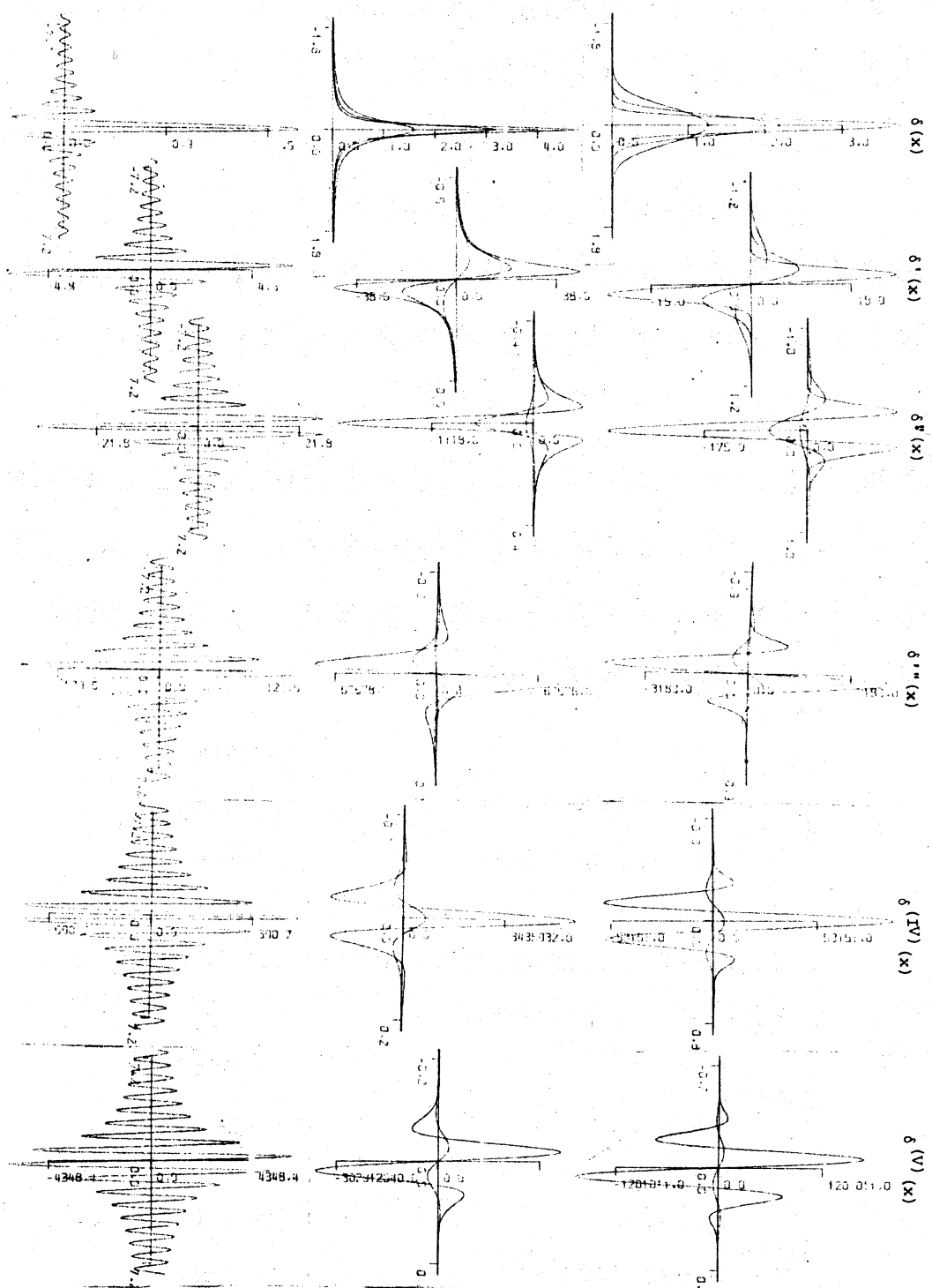


Fig. 1

2.2 区間 $(0, 1)$ 内に有限個の点 a_1, a_2, \dots, a_L で $g(x)$ 又は $g^{(m)}(x)$ に $\sigma_m(a_\ell)$ だけの跳び即ち

$$\sigma_m(a_\ell) = g^{(m)}(a_\ell+) - g^{(m)}(a_\ell-)$$

$$m = 0, 1, 2, \dots, \quad \ell = 1, 2, \dots, L$$

の有る関数を積分方程式の右辺に与へる。すると前述の積分方程式の解の中の $g^{(m)}(x)$ を超関数の意味での微分

$$g^{(m)}(x) = g^{(m)}(x) + \sum_{\ell=1}^L \sum_{p=0}^{m-1} \sigma_p(a_\ell) \delta^{(m-1-p)}(x-a_\ell)$$

で置き換へることによつて、 δ 及びその導超関数 $\delta^{(m)}$ を含む解が得られる。但し上式での $g^{(m)}(x)$ は点 $a_\ell, \ell = 1, 2, \dots, L$ を除いたところでの通常の m 階導関数である。以下に区間 $(0, 1)$ 内に跳びのある関数を列挙する。

$$g-1 \quad g(x) = \begin{cases} 48x^2 & , 1/4 < x < 0 \\ -8(x+1)(x-11/20) & , 1/2 < x < 1/4 \\ 8(x-2)(x-9/20) & , 3/4 < x < 1/2 \\ 16(-1) & , 1 < x < 3/4 \end{cases}$$

$$\sigma_0(1/2) = -1.2, \sigma_2(1/2) = 32, \sigma_1(1/4) = -31.6, \sigma_2(1/4) = -112$$

$$\sigma_1(3/4) = 15.6, \sigma_2(3/4) = 16$$

$$g-2 \quad g(x) = \begin{cases} -x & , 0 < x < 1/4 \\ 1-x & , 1/4 < x < 1 \end{cases}$$

$$\sigma_0(1/4) = 1$$

$$g-3 \quad g(x) = \begin{cases} x/2 & , 0 < x < 1/4 \\ -x/2 + 1/4 & , 1/4 < x < 1 \end{cases}$$

$$\sigma_1(1/4) = 1, g(1) = -1/4$$

§2. 第一種フレドホルム型積分方程式

2.1 $K(x, y)$ が対称核のときの第一種フレドホルム型積分方程式
$$\int_0^1 K(x, y) h(y) dy = g(x) \quad (1)$$

の解 $h(x)$ に含まれる超関数を扱うことにする。ここで扱う核(対称核なる故 $x \geq y$ のみ記す)はそれに対する解を列挙する。

K-1 $L[u] = 2u'' - 2u$ の Green 関数

$$K(x, y) = e^{-|x-y|}$$

$$h(x) = \frac{1}{2}f(x) - \frac{1}{2}f''(x) + \frac{1}{2}[g(0) - g'(0)]\delta(x) + \frac{1}{2}[g(1) + g'(1)]\delta(x-1)$$

K-2 $u(0) = u(1) = 0$ ときの $L[u] = u''$ の Green 関数

$$k(x, y) = y(1-x), x \geq y$$

$$h(x) = -g''(x) - g(0)\delta'(x) - g(1)\delta'(x-1)$$

K-3 $u(0) = u(1) = u''(0) = u''(1)$ ときの $L[u] = u^{(IV)}$ の Green 関数

$$K(x, y) = \frac{1}{6}y(x-1)(x^2 + y^2 - 2x), x \geq y$$

$$h(x) = g^{(IV)}(x) + g(0)\delta'''(x) + g''(0)\delta'(x) - g(1)\delta'''(x-1) - g''(1)\delta'(x-1)$$

K-4 $u(0) = u(1) = u''(0) = u''(1) = u^{(IV)}(0) = u^{(IV)}(1) = 0$ ときの Green 関数

$$L[u] = u^{(IV)}$$

$$K(x, y) = \frac{1}{360}y(x-1)\{-3x^4 + 12x^3 - (10y^2 + 8)x + (20y^2 - 8)x - 3y^4\}, x \geq y$$

$$h(x) = -g^{(VI)}(x) - g(0)\delta^{(V)}(x) - g''(1)\delta'''(x-1) + g^{(IV)}(1)\delta'(x-1)$$

K-5 Poisson 核

$$K(x, y) = \frac{1-\gamma^2}{1-2\gamma\cos 2\pi(x-y)+\gamma^2}, 0 < \gamma < 1 \quad (\gamma = 0.75 \text{ とした})$$

$$g(x) = \sum_{k=0}^{\infty} \gamma^k a_k \cos 2k\pi x + \sum_{k=1}^{\infty} \gamma^k b_k \sin 2k\pi x \quad \text{のとき}$$

$$h(x) = \sum_{k=0}^{\infty} a_k \cos 2k\pi x + \sum_{k=1}^{\infty} b_k \sin 2k\pi x$$

$$g-4 \quad g(x) = \begin{cases} x^2 & , 0 \leq x \leq 1/4 \\ x^2/2 + x/4 - 1/32 & , 1/4 < x < 1 \end{cases}$$

$$\sigma_2(1/4) = 1, g''(0) = 2, g(1) = 5/4, g''(1) = 1$$

$$g-5 \quad g(x) = \begin{cases} 27x^3 & , 0 \leq x \leq 1/4 \\ (x-1)(-37x^2 + 11x - 1) & , 1/4 < x < 1 \end{cases}$$

$$\sigma_3(1/4) = -384, g''(1) = -126$$

$$g-6 \quad g(x) = \begin{cases} 81x^4 & , 0 \leq x \leq 1/4 \\ -175x^4 + 256x^3 - 96x^2 + 16x - 1 & , 1/4 < x < 1 \end{cases}$$

$$\sigma_4(1/4) = -6144, g^{(IV)}(0) = 1944, g^{(IV)}(1) = -4200$$

$$g-7 \quad g(x) = \begin{cases} 243x^5 & , 0 \leq x \leq 1/4 \\ (x-1)(-781x^4 + 499x^3 - 141x^2 + 19x - 1) & , 1/4 < x < 1 \end{cases}$$

$$\sigma_5(1/4) = -122880, g''(1) = -3780, g^{(IV)}(1) = -63000$$

g-8 Weierstrass の関数

$$g(x) = \sum_{k=0}^{\infty} b^k \cos(a^k x \pi), (a=13, b=0.5, k \text{ は } 50 \text{ までとした})$$

2.3 三角級数

$$\sum_{k=-\infty}^{\infty} C_k e^{ik\pi x/l} \quad (2)$$

は次のとき、一つの超関数 $f(x)$ を定める。

i) $|k| \rightarrow \infty$ のとき、ある N を選んで $C_k = O(|k|^N)$ と書けるとき、(2) は一つの Schwartz distribution $f(x)$ に収束する

ii) $|k| \rightarrow \infty$ のとき、任意の $C > 1$ に対して $C_k = O(C^{|k|})$ と書けるとき、(2) は一つの hyperfunction $f(x)$ に収束する。

例へば

$$\sum_{k=1}^{\infty} (-1)^{k-1} \sin(2k-1) 2\pi x + \pi \sum_{k=-\infty}^{\infty} (-1)^{k-1} \delta(2\pi x - \pi/2 + k\pi)$$

$$2 \sum_{k=1}^{\infty} (-1)^{k-1} \cos(2k-1) 2\pi x = \pi \sum_{k=-\infty}^{\infty} (-1)^{k-1} \delta'(2\pi x - \pi/2 + k\pi)$$

$$2 \sum_{k=1}^{\infty} (-1)^{k-1} \sin(2k-1) 2\pi x = -\pi \sum_{k=-\infty}^{\infty} (-1)^{k-1} \delta''(2\pi x - \pi/2 + k\pi)$$

$$\sum_{k=1}^{\infty} \sin 2\pi k x = 1/2 \cot \pi x$$

$$\sum_{k=1}^{\infty} (-1)^{k-1} k \cos 2\pi k x = 1/4 \cos^2 \pi x$$

$$\sum_{k=1}^{\infty} (-1)^k k^3 \cos 2\pi k x = (\cos^2 \pi x + 3 \sin^2 \pi x) / 8 \cos^4 \pi x$$

これらに類する $g(x)$ を列挙する

$$\begin{aligned} g-9 \quad g(x) &= -\frac{1}{\pi^2} \sum_{k=1}^{\infty} \frac{1}{k^2} \sin k\pi x \\ &= \frac{1}{\pi^2} \left(-\pi x + \pi x \log \pi x - \sum_{k=1}^{\infty} \frac{(\pi x)^{2k+1}}{k(2k+1) \cdot 2 \cdot (2k)!} \right) |B_{2k}| \end{aligned}$$

但し B_{2k} はベルヌーイ数, k は 20 までとった。

$$g-10 \quad g(x) = 2 \sum_{k=1}^{\infty} r^{2k-1} (-1)^{k-1} \sin(2k-1) 2\pi x$$

$$g-11 \quad g(x) = 2 \sum_{k=1}^{\infty} r^{2k-1} (-1)^{k-1} k \cos(2k-1) 2\pi x$$

$$g-12 \quad g(x) = 2 \sum_{k=1}^{\infty} r^{2k-1} (-1)^k k^2 \sin(2k-1) 2\pi x$$

$$g-13 \quad g(x) = \sum_{k=1}^{\infty} r^k \sin k 2\pi x$$

$$g-14 \quad g(x) = \sum_{k=1}^{\infty} (-1)^{k-1} r^k k \cos k 2\pi x$$

$$g-15 \quad g(x) = \sum_{k=1}^{\infty} (-1)^k r^k k^3 \cos k 2\pi x$$

2.4 数値解法

積分方程式の左辺を数値積分公式で離散化し, それと同数の点 x_i を与へ, 連立一次方程式

$$\sum_{j=1}^n W_j K(x_i, y_j) h(y_j) = g(x_i), i=1, 2, \dots, n$$

をLU分解法 (Doolittle 法) で解くことにする。

$$\text{台形則: } W_0 = W_n = 1/2, W_j = 1, j=1, \dots, n-1$$

$$x_i = i/n, \quad i=0, 1, \dots, n$$

$$y_j = j/n, \quad j=0, 1, \dots, n$$

中点則: $w_j = 1, \quad j=1, 2, \dots, n$

$$x_i = i/n - 1/2n, \quad i=1, 2, \dots, n$$

数値計算は全て16進8桁(10進で約17.1桁)の浮動小数点演算で行う。

2.5 計算例

核	$g(x)$	$h(x)$	数値解(数値積分公式)
K-1	$g-1$	$1/2g(x) - 1/2g''(x)$ $+15.8\delta(x-1/4) + 0.6\delta'(x-1/2)$ $+7.8\delta(x-3/4) + 8\delta(x-1)$	table 1-1 (台形則)
K-1	$g-1$	$+7.8\delta(x-3/4) + 8\delta(x-1)$	table 1-2 (中点則)
K-2	$g-1$	$-g''(x) + 31.6\delta(x-1/4)$ $+1.2\delta'(x-1/2) - 15.6\delta(x-3/4)$	table 2 (")
K-3	$g-2$	$\delta'''(x-1/4)$	table 3 (")
k-3	$g-3$	$\delta''(x-1/4) + 1/4\delta'(x-1)$	table 4 (")
K-3	$g-4$	$\delta'(x-1/4) + 2\delta'(x)$ $-5/4\delta'''(x-1) - \delta'(x-1)$	table 5 (")
K-3	$g-5$	$-384\delta(x-1/4) + 126\delta'(x-1)$	table 6 (")
K-4	$g-2$	$\delta^{(V)}(x-1/4)$	table 7 (")
K-4	$g-3$	$-\delta^{(IV)}(x-1/4) - 1/4\delta^{(V)}(x-1)$	table 8 (")

K-4	g-4	$-\delta''(x-1/4)-2\delta''(x)+\delta''(x-1)$	table 9 (中点則)
K-4	g-5	$384\delta''(x-1/4)-126\delta''(x-1)$	table 10 (")
K-4	g-6	$6144\delta'(x-1/4)-1944\delta'(x)-4200\delta'(x-1)$	table 11 (")
K-4	g-7	$122880\delta(x-1/4)3780\delta''(x-1)-63000\delta'(x-1)$	table 12 (")
K-2	g-4	$-2H(-x+1/4)-H(x-1/4)+5/4\delta(x-1)$	table 13 (")
K-2	g-5	$-162xH(-x+1/4)+(222x-96)H(x-1/4)-126\delta(x-1)$	table 14 (")
K-2	g-8		table 15 (")
K-5	g-9	$\delta(x-1/4)-\delta(x-3/4)$	table 16 (")
K-5	g-11	$\delta'(x-1/4)-\delta'(x-3/4)$	table 17 (")
K-5	g-12	$-\delta''(x-1/4)+\delta''(x-3/4)$	table 18 (")
K-2	g-9	$1/2 \cot \pi x$	table 19 (")
K-5	g-13	$1/2 \cot \pi x$	table 20 (")
K-5	g-14	$1/4 \cos^2 \pi x$	table 21 (")
K-5	g-15	$(\cos^2 \pi x + 3\sin^2 \pi x) / 8\cos^4 \pi x$	table 22 (")

2.6 $\delta^{(m)}(x-a)$ の現われるところでは他の点での値に比べ大きな数値が得られている。しかもこの点附近の数値は分割数に大きく依存することが観測される。それらを解析

してみよう。

結果I. 分割数 n を倍に増したときの $\delta^{(m)}$ の存在する点での計算値の変化の倍率をおのおのの核に対して下表に示す。

(n は8から256まで行った)。

$\delta \backslash K$	K-1	K-2	K-3	K-4	K-5
δ	2.002	2.0000000000000000	1.999999999	2.000	2.0000000000000000
δ'	4.002	4.0000000000000000	3.9999998	3.9993	4.1
δ''			7.99999998	8.0000	7.8
δ'''			16.00000000	16.01	
δ (IV)				32.000	
δ (V)				64.0000	

このことから δ 及 $\delta^{(m)}$ の大きさは n の $(m+1)$ 乗に比例することがわかる。又表中の数値は2倍, 4倍, ... からはずれる桁数で打切られている。実はこの桁数が $\delta^{(m)}$ の存在しない他の分点での通常の解 a とこの精度とほぼ一致している。

結果II 積分の分点 x_i と $f(x)$ の跳びの点 a_e とが丁度一致するとき, $f(x_i)$ に適当な値 C を与へ計算を実行する。その結果

$$\text{核I及IIでの } \sigma_0(a_e) \delta'(x-a_e) \text{ が } (C-f(a_e-)) \delta'(x-a_e+\frac{1}{2m})$$

$$\text{と } (f(a_e+)-C) \delta'(x-a_e-\frac{1}{2m})$$

とに分かれる。K-3の δ''' , K-4での $\delta^{(IV)}$ も同様な現象が見られる。

結果Ⅲ 区間の端での $\delta \sim \delta^{(n)}$ は内部でのものの2倍の高さをもつ。

結果Ⅳ $K-1$ 又は n で $\sigma_2(ae)$ や $\sigma_3(ae)$ を持つ $g(x)$ を与へると、 $\sigma_2(ae)$ では分割数 n には依存せず、一定値 $\sigma_3(ae)$ では n に逆比例するものが現れ、その形状は Fig. 5 である。これらは積分を離散化したために現れたものであろう。 $K-3$ では σ_4, σ_5 , $K-4$ では σ_6, σ_7 で同様の現象がみられる。以上より、サード種フレドホルム型積分方程式に現われる δ 関数及其の導関数は、前述のような数値解法を採用したとき

$$\delta^{(m)}(x-a) = C_m n^{m+1} \varphi_m(x)$$

と表わされる。ここに C_m 及 $\varphi_m(x)$ は核により定まるものである。例へば Fig. 2 に示すように核 $K-1$ と $K-2$ に対して

$$C_0 = C_1 = 1,$$

$$\varphi_0(x) = \frac{h}{h} \frac{x-a}{h} \Pi(x)$$

$$\varphi_1(x) \begin{cases} -\operatorname{sgn}(x-a) \Pi(x) & x \neq a \\ 0 & x = a \end{cases}$$

となる。但し $h=1/n$, $x=a+gh$, $g \in [-1, 1]$ 及 $\Pi(x)$ は g の区間 $[-1, 1]$ 内でのみ 1 で他では 0 となる単位関数である。

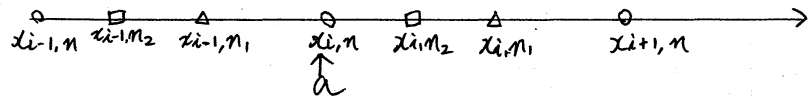
他の核に対しては $\varphi_m(x)$ の具体形を示すことは困難であるが Fig. 3 が $K-3$, Fig. 4 が $K-4$ に対する形状である。なおこれらの図は次のように描いたものである。

分割数 n のときの分点の座標を $x_{i, n}$, $i=1, \dots, n$

" n_1 " " x_{i, n_1} "

" n_2 " " x_{i, n_2} "

としたときの、点 $x_{i, n_1}, x_{i, n_2}, \dots$ での計算値 $h(x_{i, n_1}), h(x_{i, n_2}), \dots$ を $\delta^{(m)}$ のところでは $h(x_{i, n_1}) \times (n/n_1)^{m+1}, h(x_{i, n_2}) \times (n/n_2)^{m+1}, \dots$ と分割数 n のときの値に換算した値を $\delta^{(m)}(x-a)$ のある点 a を中心に分割数 n での n 区間内にプロットしたものである。



図からみられるように Temple のこれと極めて一致した形状を示している。又 Dirac は $\delta(0) = +\infty$ の ∞ はむやみに大きなものではなく、原点を中心に幅 ε をもたせたとき ε^{-1} の程度の無限大であるといっている。筆者の得た数値解はここのことを極めて合理的に物語っている。この手法により未知の積分方程式の解に含まれる δ 及びその導関数を検出することが可能となる。即ち数値解が分割数 n の $m+1$ 乗に比例して得られる部分には、 $\delta^{(m)}(x-a)$ が在る。但し Weierstrass の関数のような関数を右辺にもつ積分方程式、即ち解にいたるところ $\delta^{(m)}$ を含む場合は除外する。

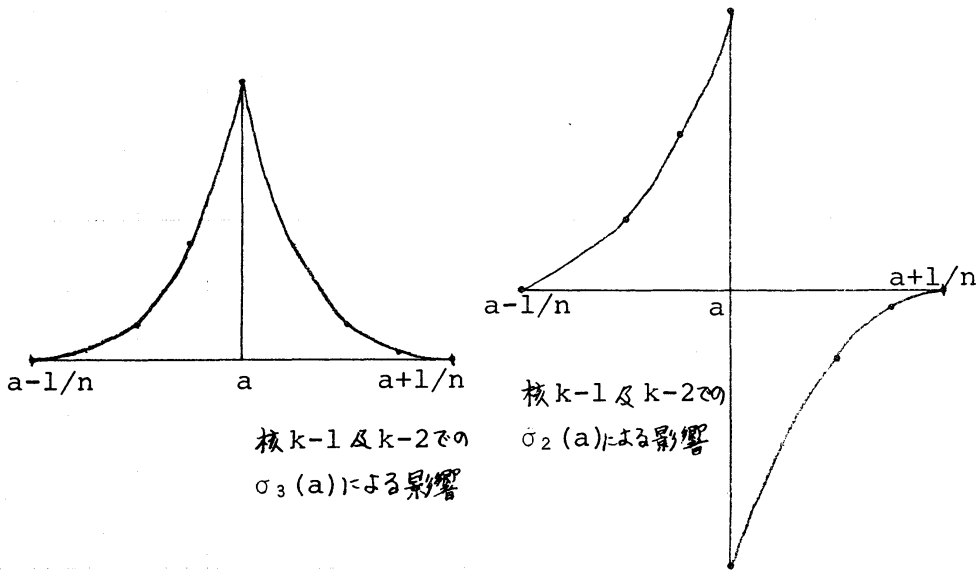


Fig.5

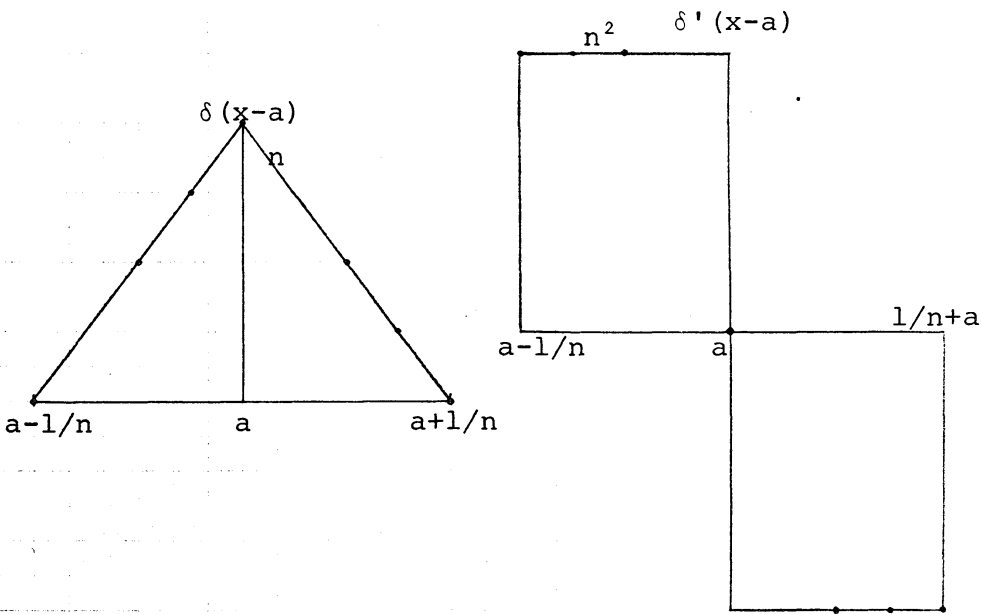


Fig. 2
核 $k-1$ 及 $k-2$ での $\delta^{(m)}(x-a)$

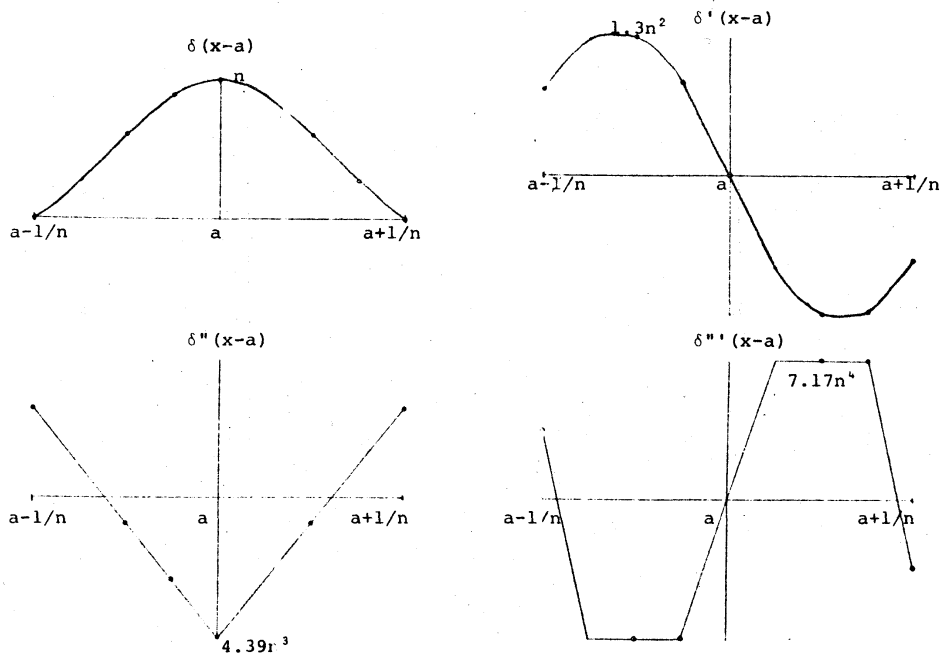


Fig. 3
 $k=3 \Rightarrow \delta^{(m)}(x-a)$

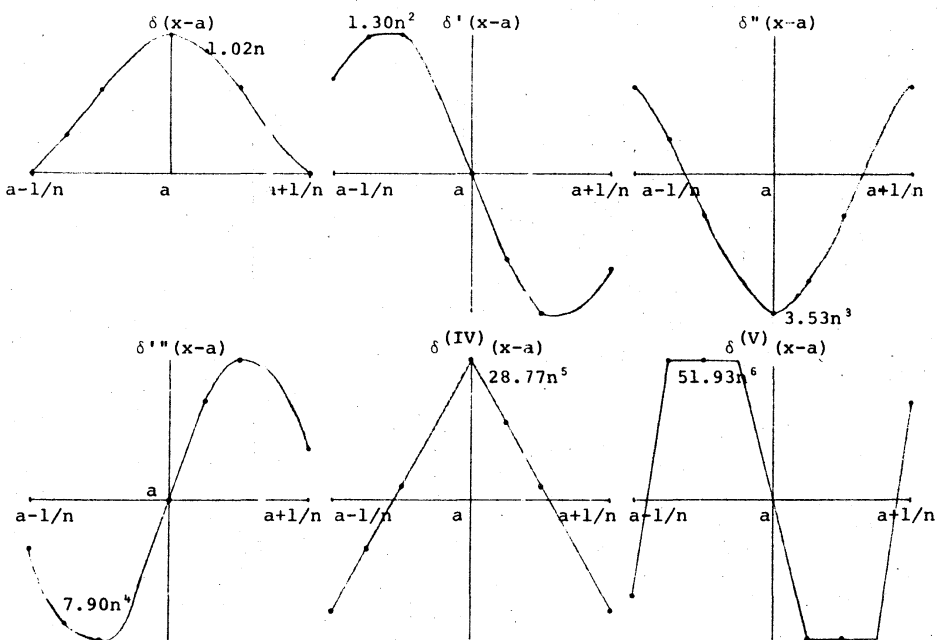


Fig. 4
 $k=4 \Rightarrow \delta^{(m)}(x-a)$

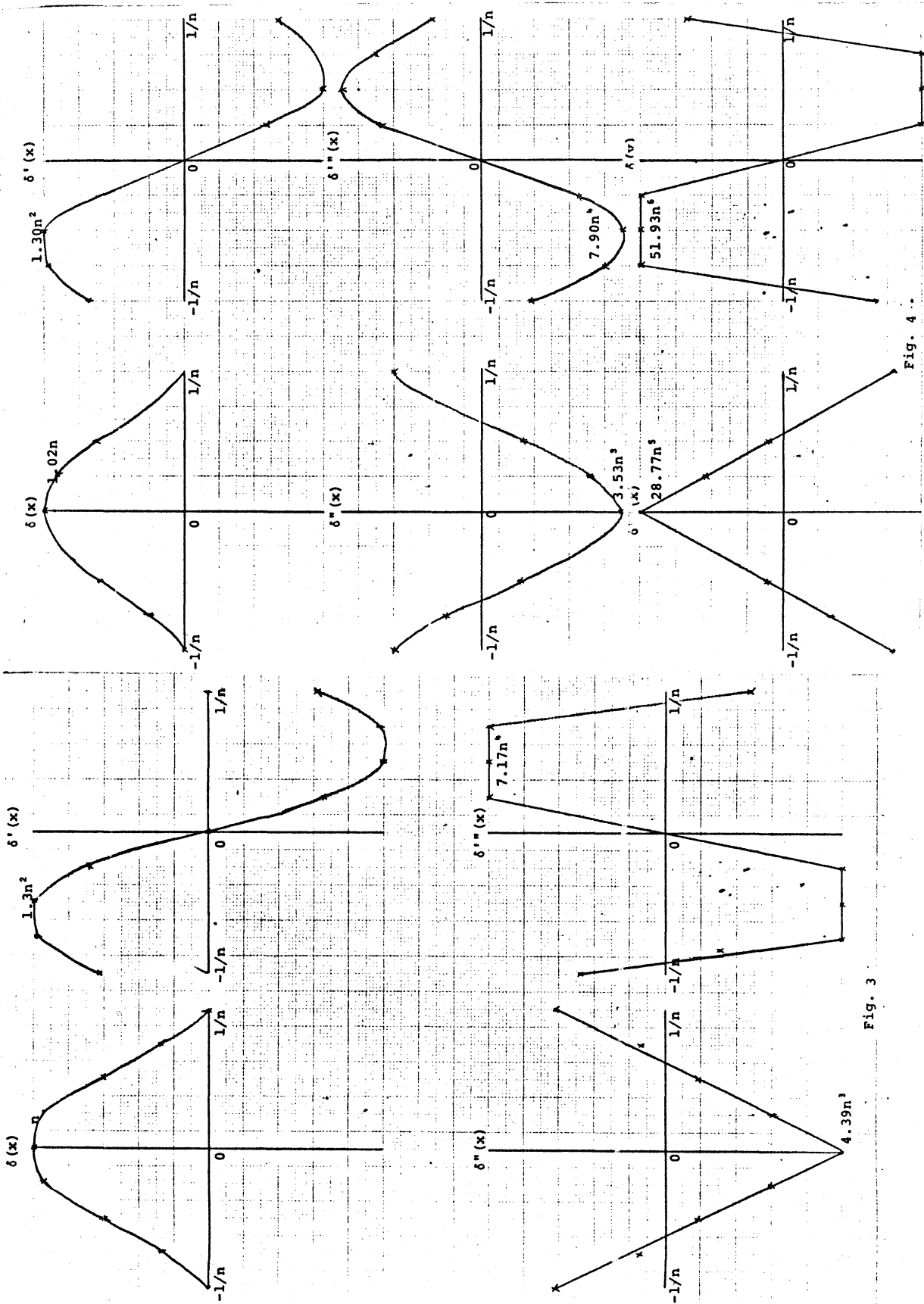


Fig. 3

Fig. 4

2.7 積分方程式(1)が解を持つための必要十分条件としての Picard の定理がある。即ち

$$K'(x, y) = \int K(x, s)K(y, s) ds$$

を考へ、この核の固有値を $\{\lambda_k^2\}$, それに対応する固有関数を $\{M_k(x)\}$ とする。(1)の右辺を $M_k(x)$ によつて Fourier 展開し、

$$f(x) = \sum_{k=1}^{\infty} C_k M_k(x)$$

としたとき、解 $u(x)$ が存在するための必要十分条件は

$$\sum_{k=1}^{\infty} \lambda_k^2 C_k^2 \quad (2)$$

が収束することである。この定理を満さない場合の一例が

$$f(x) \text{ に } g(x) = \sum_{n=1}^{\infty} \frac{\sin n\pi x}{\pi^2 n^2}$$

を考へ、 $K=2$ の場合である。すると $K'(x, y)$ の固有値は $n^4 \pi^4$, C_n は $\frac{1}{n^2 \pi^2}$ であるので(2)式は

$$\sum_{n=1}^{\infty} n^4 \pi^4 \frac{1}{n^4 \pi^4} = \sum_{n=1}^{\infty} 1$$

となり発散する。しかし形式解は $\sum_{n=1}^{\infty} \sin n\pi x$ である。これは発散級数であるが、超関数の意味で

$$\sum_{n=1}^{\infty} \sin n\pi x = \frac{1}{2} \cot \frac{\pi}{2} x$$

となるものである。Poisson核で解いても同様の結果が得られる。

2.8 初期値ないし境界値問題の逆問題

領域の内部で所定の偏微分方程式の解となつてゐる関数が領域の境界に接近するときの振舞を知りべよとするもので

ある。このことを数値的に調べ超関数を見ようとするところである。

$$\text{熱伝導方程式} \quad \frac{\partial u}{\partial t} = \frac{\partial^2 u}{\partial x^2} \quad (3)$$

$$\text{の両端断熱} \quad \frac{\partial u}{\partial x}(0, t) = \frac{\partial u}{\partial x}(\pi, t) = 0 \quad (4)$$

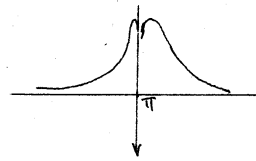
の場合を取り扱う。 $t > 0$ での (3) の解が $t=0$ でどうなるかを調べる。ここで得た数値的様相が断熱条件の熱伝導の物理的意味と合致している。

$$i) \quad u(x, t) = \sum_{n=1}^{\infty} (-1)^{n-1} n e^{-n^2 t} \cos nx$$

$t=0$ とすると

$$u(x, 0) = \cos x - 2 \cos 2x + 3 \cos 3x - \dots$$

でこれは超関数の意味で $1/4 \cos^2 \frac{x}{2}$ に等しい。即ち初期値が $1/4 \cos^2 \frac{x}{2}$ である。数値実験の結果 $x=\pi$ で丁度 $1/4 \cos^2 \frac{\pi}{2}$ と反対の符号となりこのような特異点での様子をグラフに描くとすれば右図のようなものである。



$$ii) \quad u(x, t) = \sum_{n=1}^{\infty} (-1)^n n^3 e^{-n^2 t} \cos nx$$

$t=0$ とすると

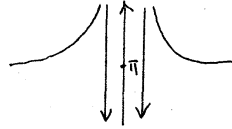
$$u(x, 0) = \sum_{n=1}^{\infty} (-1)^n n^3 \cos nx$$

となり、これは超関数の Fourier 展開の意味で

$$\left\{ \cos^2 \frac{x}{2} + 3 \sin^2 \frac{x}{2} \right\} / 8 \cos^4 \frac{x}{2}$$

に等しい。ところが数値解は $x=\pi$ 付近でこの式とはなれだし $\pm\infty$ と振動してくる。これをグラフに描くとすれば、

下図のようになり *quintett* 的様相を持つたものである。



終わりに

数値計算は日本大学理工学部 HITAC 8700, OKITAC 4300C 及 東京大学大型計算機センターの HITAC 8700/8800 で行なわれた。なお、本研究に際し終始御指導下さいました日本大学・宇野利雄博士並に有益な御助言を頂いた京都大学・松信教授に心からの謝意を表す。

References

- 1) P.A.M. Dirac: The Principles of Quantum Mechanics, Oxford UP, 1930
- 2) L. Schwartz: Theorie des Distribution, tomes I et II, Hermem et Cie, 1950-1
- 3) 佐藤幹夫: 超関数の理論, 数学, 10巻, 1号,
- 4) J.G. Mikusinski: Fundam. Math, 35, 235, 1948
- 5) G. Temple: Theory of Generalized Functions, Proc. Roy. Soc. A 228, 1955
- 6) M.J. Lighthill: An Introduction to Fourier Analysis and Generalised Functions, Cambridge UP, 1958
- 7) I.M. Gel' Fand and G.E. Shilov: Obobshchennye Funktsii, Vypusk I, Moscow, 1958
- 8) T. UNO and I. Hong: A Relation between Some Fredholm Type Linear Integral Equations of First Kind and Linear Algebraic Simultaneous Equations, Mathematica Japonicae, 20, 1975

I	X	H(X)	EXACT
1	0.0312500000000000	-71.99999999999995	-96.00000000000000
2	0.0937500000000000	-96.00000000000010	-96.00000000000000
3	0.1562500000000000	-95.99999999999984	-96.00000000000000
4	0.2187500000000000	170.80000000000000	-96.00000000000000
5	0.2812500000000000	254.80000000000000	16.00000000000000
6	0.3437500000000000	15.99999999999983	16.00000000000000
7	0.4062500000000000	16.00000000000023	16.00000000000000
8	0.4687500000000000	319.19999999999996	16.00000000000000
9	0.5312500000000000	-319.19999999999998	-16.00000000000000
10	0.5937500000000000	-15.99999999999997	-16.00000000000000
11	0.6562500000000000	-16.00000000000007	-16.00000000000000
12	0.7187500000000000	-142.80000000000000	-16.00000000000000
13	0.7812500000000000	-154.79999999999999	-32.00000000000000
14	0.8437500000000000	-32.00000000000011	-32.00000000000000
15	0.9062500000000000	-31.99999999999985	-32.00000000000000
16	0.9687500000000000	-24.00000000000007	-32.00000000000000

table 1-1

I	X	H(X)	EXACT
1	0.0312500000000000	-47.58204929888065	-47.97656250000000
2	0.0937500000000000	-47.7578953741226	-47.78936250000000
3	0.1562500000000000	-47.38301739605985	-47.41406250000000
4	0.2187500000000000	86.49249017494321	-46.85156250000000
5	0.2812500000000000	128.6939906464990	9.377343750000000
6	0.3437500000000000	9.103027059426824	9.108593750000000
7	0.4062500000000000	8.803124677744815	8.808593750000000
8	0.4687500000000000	159.9733295189506	8.477343750000000
9	0.5312500000000000	-159.9733295189506	-8.477343750000000
10	0.5937500000000000	-8.803124677744857	-8.808593750000000
11	0.6562500000000000	-9.103027059426882	-9.108593750000000
12	0.7187500000000000	-72.73443237154724	-9.377343750000000
13	0.7812500000000000	-78.71637495378655	-17.367187500000000
14	0.8437500000000000	-17.74393238286118	-17.054687500000000
15	0.9062500000000000	-16.66905441250875	-16.679687500000000
16	0.9687500000000000	107.9316622030501	-16.242187500000000

table 1-2

I	X	H(X)	EXACT
0	0.0000000000000000	-47.96876423567291	-48.00000000000000
1	0.0625000000000000	-47.87504474133488	-47.90625000000000
2	0.1250000000000000	-47.59388625832049	-47.62500000000000
3	0.1875000000000000	-47.12528876663013	-47.15625000000000
4	0.2500000000000000	234.1480184524233	-46.50000000000000
5	0.3125000000000000	9.241263313975469	9.246875000000000
6	0.3750000000000000	8.956980847816621	8.962499999999999
7	0.4375000000000000	162.1415041043650	8.646875000000000
8	0.5000000000000000	-153.7999474360352	-8.300000000000000
9	0.5625000000000000	-8.641458550211773	-8.646875000000000
10	0.6250000000000000	-8.956980847816503	-8.962500000000000
11	0.6875000000000000	-9.241263313975552	-9.246875000000000
12	0.7500000000000000	-138.2104899810773	-9.500000000000000
13	0.8125000000000000	-17.20794150495287	-17.218750000000000
14	0.8750000000000000	-16.86430333904650	-16.875000000000000
15	0.9375000000000000	-16.45818553024803	-16.468750000000000
16	1.0000000000000000	239.8438211783645	-16.000000000000000

table 2

n=32		H(X)	H(X)
1	0.0156250000000000	1737.331368161832	-15.67263648157728
2	0.0487500000000000	-4211.994194062081	47.01790942045342
3	0.0781250000000000	19110.64505076499	-172.3990010964042
4	0.1093750000000000	-71230.58610494999	642.5780947784444
5	0.1462500000000000	265811.6993720854	-2397.913377829815
6	0.1718750000000000	-992016.2113794717	8949.075416807210
7	0.2031250000000000	3702253.146137998	-33398.38428943274
8	0.2343750000000000	-7525540.373164557	26340.47774101518
9	0.2656250000000000	7525540.346509026	-26340.47732527111
10	0.2968750000000000	-3702253.012870617	-33398.38704199150
11	0.3281250000000000	992015.7049744930	8949.070842618813
12	0.3593750000000000	-265809.8070273368	-2397.896328519852
13	0.3906250000000000	71223.52313348831	642.5144717026910
14	0.4218750000000000	-19084.28550511840	-172.1615587478812
15	0.4531250000000000	5113.618887850606	46.13176374283208
16	0.4843750000000000	-1370.190050184564	-12.36549641066904
17	0.5156250000000000	367.1413164478471	3.330221856332389
18	0.5468750000000000	-98.37521759779953	-0.9553910654776311
19	0.5781250000000000	26.35955794204034	0.4913429029417491
20	0.6093750000000000	-7.063720585994520	-1.009981482503683
21	0.6406250000000000	1.892529108613402	3.548583955713464
22	0.6718750000000000	-0.5070995612876068	-13.18435485838989
23	0.7031250000000000	0.1358748667007297	49.18883555523795
24	0.7343750000000000	-0.3640599645795861	-183.5709872337707
25	0.7656250000000000	0.9753910817141371	685.0951133489710
26	0.7968750000000000	-0.2613143306979761	-2556.809466340206
27	0.8281250000000000	0.7004418965011062	9542.142752269943
28	0.8593750000000000	-0.1888129194539475	-35611.76154301333
29	0.8906250000000000	0.5238502311768512	132904.9034200301
30	0.9218750000000000	-0.1537747660470092	-496007.8521371457
31	0.9531250000000000	0.4596195692870770	1851126.505128365
32	0.9843750000000000	-0.1560326668762730	-3762770.168376140

table 3

table 4

n=32		H(X)	H(X)
1	0.0156250000000000	-5320.789388577130	0.7346548343451994
2	0.0487500000000000	662.3681658188463	-2.203964502794056
3	0.0781250000000000	-160.6832750314668	8.081203175795061
4	0.1093750000000000	40.36493485095298	-30.12084419366994
5	0.1462500000000000	-0.7764646523384775	112.4021895896656
6	0.1718750000000000	-37.25907650692216	-419.487901629632
7	0.2031250000000000	149.8127711529787	1565.549451066830
8	0.2343750000000000	-1329.992008470973	-7378.709894111641
9	0.2656250000000000	1330.155263027047	-7378.709874611498
10	0.2968750000000000	-150.6290439310426	1565.549392549365
11	0.3281250000000000	40.36491286461515	-419.4876955759186
12	0.3593750000000000	-10.81460727809973	112.4013097424186
13	0.3906250000000000	2.897515359593233	-30.11786338993511
14	0.4218750000000000	-0.7754527510928088	8.070063830865188
15	0.4531250000000000	0.2042944050369363	-2.162391959670990
16	0.4843750000000000	-0.4172447119179563	0.5795040293844105
17	0.5156250000000000	-0.3739631130651403	-0.1556241613120094
18	0.5468750000000000	0.1913098708583602	0.4299260804213020
19	0.5781250000000000	-0.7278446259004288	-0.16346272229977340
20	0.6093750000000000	2.720071286500161	0.22392525881736560
21	0.6406250000000000	-10.15244307999565	-0.73223854718470000
22	0.6718750000000000	37.88970240823755	0.2705029037625085
23	0.7031250000000000	-141.4063667771646	-1.008787745947038
24	0.7343750000000000	527.7357644637512	3.764648053510718
25	0.7656250000000000	-1969.536691115091	-14.04980445154437
26	0.7968750000000000	7350.411000511588	52.43456975295457
27	0.8281250000000000	-27432.10731153547	-195.6884745731474
28	0.8593750000000000	102378.0182462105	730.3193285601903
29	0.8906250000000000	-382079.9656738614	-2725.58839681962
30	0.9218750000000000	1425941.844449276	13172.03603016352
31	0.9531250000000000	-5321687.412122683	-37962.55528095704
32	0.9843750000000000	10815303.80404093	335214.1850936532

table 5

table 6

I	X	H(X)	EXACT	ERROR (ABS.)
1	0.015625	-1.4999999999999991	-1.999999999999999	-0.50000000000000079
2	0.046875	-1.9999999999999992	-1.999999999999999	-0.75495165674510640-14
3	0.078125	-2.0000000000000004	-1.999999999999999	0.44408920985006260-14
4	0.109375	-1.9999999999999993	-1.999999999999999	-0.64392935428259070-14
5	0.140625	-2.0000000000000000	-1.999999999999999	0.88817841970012520-15
6	0.171875	-1.9999999999999994	-1.999999999999999	-0.53290705182007510-14
7	0.203125	-2.0000000000000002	-1.999999999999999	0.31086244689504380-14
8	0.234375	-1.8750000000000002	-1.999999999999999	-0.12499999999999977
9	0.265625	-1.1250000000000029	-0.9999999999999990	0.12500000000000297
10	0.296875	-1.0000000000000026	-0.9999999999999990	0.27089441800853810-13
11	0.328125	-0.9999999999999293	-0.9999999999999990	-0.70665695517391210-13
12	0.359375	-1.0000000000000063	-0.9999999999999990	0.63948846218409010-13
13	0.390625	-0.9999999999999942	-0.9999999999999990	-0.57176485768195560-14
14	0.421875	-0.9999999999999466	-0.9999999999999990	-0.53373971908854390-13
15	0.453125	-1.0000000000000010	-0.9999999999999990	0.10436096431476470-13
16	0.484375	-1.0000000000000088	-0.9999999999999990	0.88817841970012520-13
17	0.515625	-0.9999999999999811	-0.9999999999999990	-0.11879386363489120-12
18	0.546875	-1.0000000000000008	-0.9999999999999990	0.84376949871511890-14
19	0.578125	-1.0000000000000100	-0.9999999999999990	0.10036416142611410-12
20	0.609375	-0.9999999999999777	-0.9999999999999990	-0.22232216068118750-13
21	0.640625	-0.9999999999999143	-0.9999999999999990	-0.85653706349830820-13
22	0.671875	-1.0000000000000086	-0.9999999999999990	0.86375351315837170-13
23	0.703125	-1.0000000000000009	-0.9999999999999990	0.95479180117763460-14
24	0.734375	-1.0000000000000074	-0.9999999999999990	0.74606987254810510-13
25	0.765625	-0.99999999999998315	-0.9999999999999990	-0.16839307726002050-12
26	0.796875	-1.0000000000000074	-0.9999999999999990	0.74829031859735550-13
27	0.828125	-0.99999999999998748	-0.9999999999999990	-0.12514989045087070-12
28	0.859375	-1.0000000000000167	-0.9999999999999990	0.168087765922824860-12
29	0.890625	-0.99999999999997920	-0.9999999999999990	-0.20791701693667610-12
30	0.921875	-0.9999999999999943	-0.9999999999999990	-0.56621374255882980-14
31	0.953125	-1.0000000000000158	-0.9999999999999990	0.15831780331154730-12
32	0.984375	1471.2500000000000	-0.9999999999999990	-1472.2500000000000

table 13

I	X	H(X)	EXACT	ERROR (ABS.)
1	0.015625	-2.5312499999999998	-2.531249999999999	-0.88817841970012520-15
2	0.046875	-7.5937500000000014	-7.593749999999999	0.15099033134902120-13
3	0.078125	-12.656249999999997	-12.656249999999999	-0.18207657603852560-13
4	0.109375	-17.718749999999993	-17.718749999999999	-0.63948846218409010-13
5	0.140625	-22.781249999999991	-22.781249999999999	0.17763568394002500-13
6	0.171875	-27.843749999999996	-27.843749999999999	-0.35527136788005000-13
7	0.203125	-32.906249999999999	-32.906249999999999	0.92370555648813020-13
8	0.234375	-37.968749999999997	-37.968749999999999	-0.25000000000002344
9	0.265625	-36.781250000000007	-37.031249999999999	-0.24999999999999218
10	0.296875	-30.093749999999999	-30.093749999999999	0.00000000000000000 00
11	0.328125	-23.156249999999997	-23.156249999999999	-0.21316282072803000-13
12	0.359375	-16.218749999999993	-16.218749999999999	-0.26645352591003750-12
13	0.390625	-9.2812500000000240	-9.281249999999999	0.24114044094858390-12
14	0.421875	-2.343749999999964	-2.343750000000000	-0.35083047578154940-13
15	0.453125	4.5937499999999924	4.593749999999999	0.75495165674510640-13
16	0.484375	11.531249999999990	11.531249999999999	0.90594198809412770-13
17	0.515625	18.468750000000016	18.468749999999999	-0.16697754290362350-12
18	0.546875	25.406249999999994	25.406249999999999	0.49737991503207010-13
19	0.578125	32.343749999999977	32.343749999999999	0.22026824808563100-12
20	0.609375	39.281250000000022	39.281249999999999	-0.22737367544323200-12
21	0.640625	46.218749999999990	46.218749999999999	0.92370555648813020-13
22	0.671875	53.156249999999990	53.156249999999999	0.92370555648813020-13
23	0.703125	60.093750000000007	60.093749999999999	-0.78159700933611020-13
24	0.734375	67.031249999999986	67.031249999999999	0.12789769243681800-12
25	0.765625	73.968750000000013	73.968749999999999	-0.13500311979441900-12
26	0.796875	80.906249999999982	80.906249999999999	0.17053025658242400-12
27	0.828125	87.843749999999991	87.843749999999999	0.85265128291212020-13
28	0.859375	94.781250000000020	94.781249999999999	-0.20605739337042900-12
29	0.890625	101.71874999999999	101.718749999999999	0.11368683772161600-12
30	0.921875	108.65624999999999	108.656249999999999	0.71054273576010010-13
31	0.953125	115.59374999999999	115.593749999999999	0.63948846218409010-13
32	0.984375	91.031250000000011	122.531249999999999	31.499999999999988

table 14

I	X	H(X)	H'(X)
1	0.0156250000000000	3326.069925547172	17
2	0.0468750000000000	124.5605186822797	1
3	0.0781250000000000	-1356.928101627163	19
4	0.1093750000000000	309.7412374977875	20
5	0.1406250000000000	832.8284657314019	21
6	0.1718750000000000	-227.5114129775940	24
7	0.2031250000000000	227.5114129775940	24
8	0.2343750000000000	-532.5195196755824	24
9	0.2656250000000000	-917.1166097137306	25
10	0.2968750000000000	1597.243627810404	25
11	0.3281250000000000	-4.59381490352217	27
12	0.3593750000000000	-736.8767576686600	27
13	0.3906250000000000	426.707885886211	28
14	0.4218750000000000	-1078.772384454125	28
15	0.4531250000000000	712.607218171444	31
16	0.4843750000000000	1456.582301274736	32

table 15

I	X	H(X)	H'(X)
1	0.0166666666666666	-0.5427206334131520-15	0.38600875087083360-01
2	0.0500000000000000	0.6263930787488330-15	-0.1651209140512823
3	0.0833333333333333	-0.10807603618174310-14	0.5381334650080578
4	0.1166666666666666	0.1959917234635490-14	-1.687457398564390
5	0.1499999999999999	-0.152445033104959050-14	5.312502520183199
6	0.1833333333333333	0.152445033105645830-14	-16.80616797554523
7	0.2166666666666666	-0.17428562744667900-14	50.14484472749917
8	0.2499999999999999	14.999999999999999	0.13943471261578940-12
9	0.2833333333333333	0.10314969723884310-13	-58.14484472749935
10	0.3166666666666666	-0.65364166386753640-15	16.80616797554528
11	0.3499999999999999	-0.17703247723965800-15	-5.312502520183221
12	0.3833333333333333	0.0854618947514340-15	1.687457398564367
13	0.4166666666666666	-0.7762541821218485-15	-0.5381334650080495
14	0.4499999999999999	0.79308258037189360-15	0.1651209140512793
15	0.4833333333333333	-0.31324054099084980-15	-0.38600875087082740-01
16	0.5166666666666666	0.65373654690913950-15	-0.38600875087081280-01
17	0.5499999999999999	-0.9806342127826550-15	0.1651209140512728
18	0.5833333333333333	0.87170610231093860-15	-0.5381334650080326
19	0.6166666666666666	-0.6717452639913070-15	1.667457398864368
20	0.6499999999999999	-0.10897462725456690-15	-5.312502520183210
21	0.6833333333333333	0.53401996540859030-14	16.80616797554524
22	0.7166666666666666	0.5231862833267400-14	-58.14484472749916
23	0.7499999999999999	-14.999999999999999	-0.16570856255092330-12
24	0.7833333333333333	0.1845459641241680-13	58.14484472749936
25	0.8166666666666666	0.58336531812348340-14	-16.80616797554528
26	0.8499999999999999	-0.70808342849922110-14	5.312502520183216
27	0.8833333333333333	0.42381773421528830-14	-1.687457398864365
28	0.9166666666666666	0.7054952552003140-16	0.5381334650080281
29	0.9499999999999999	-0.8032390625734970-15	-0.1651209140512866
30	0.9833333333333333	0.34826229836951410-15	0.38600875087080140-01

table 16

table 17

table 18

I	X	H(X)	EXACT
1	0.0142857142857143	0.2506948534502686	0.2505042281878168
2	0.0428571428571429	0.2547699197175119	0.2545872989791897
3	0.0714285714285714	0.2632454042028133	0.2630237709004217
4	0.0999999999999999	0.2765344742107287	0.2763932022500209
5	0.1285714285714285	0.2960663469295542	0.2956720735920432
6	0.1571428571428571	0.3221674098419683	0.3223940764471994
7	0.1857142857142857	0.3604321177455303	0.3589310950186984
8	0.2142857142857142	0.4059874697560220	0.4089909514938964
9	0.2428571428571428	0.4876646741305014	0.4785307969761674
10	0.2714285714285714	0.5544903469584709	0.5775227671137245
11	0.2999999999999999	0.7865459170569358	0.7236067977499789
12	0.3285714285714285	0.7845016107885745	0.9503330524849029
13	0.3571428571428571	1.772398677220789	1.327985277605681
14	0.3857142857142856	0.8424569897240154	2.024877367989037
15	0.4142857142857142	6.710494214156844	3.532290629821093
16	0.4428571428571428	-1.068467734784274	7.041276337339169
17	0.4714285714285714	65.69086869220190	31.11308027605091
18	0.4999999999999999	-158.0336571665145	0.66577344702839280
19	0.5285714285714285	65.69086869220188	31.11308027605100
20	0.5571428571428571	-1.068467734764495	7.841276337334180
21	0.5857142857142856	6.710494214157019	3.532290629821096
22	0.6142857142857142	0.8424569897238807	2.024877367989038
23	0.6428571428571428	1.772398677220875	1.327985277605682
24	0.6714285714285714	0.7845016107885363	0.9503330524849033
25	0.6999999999999999	0.7865459170569509	0.7236067977499791
26	0.7285714285714285	0.554490346958484	0.5775227671137246
27	0.7571428571428571	0.487664674104990	0.4785307969761675
28	0.7857142857142856	0.4059874697560256	0.4089909514938964
29	0.8142857142857142	0.3604321177488272	0.3589310950186985
30	0.8428571428571428	0.3221674098419721	0.3223940764471994
31	0.8714285714285714	0.2960663469295521	0.2956720735920433
32	0.8999999999999999	0.2765344742107280	0.2763932022500210
33	0.9285714285714285	0.2632454042028163	0.2630237709004217
34	0.9571428571428571	0.2547699197175078	0.2545872989791897
35	0.9857142857142856	0.2506948534502766	0.2505042281878168

table 21

I	X	H(X)	EXACT
1	0.0142857142857143	-0.1335978759145468	0.1260099818520260
2	0.0428571428571429	-0.1196270765102311	0.1343008578299263
3	0.0714285714285714	-0.1395228860135119	0.1520652534516435
4	0.0999999999999999	-0.42856691011347810-01	0.1819660112501051
5	0.1285714285714285	-0.2276973042277730	0.2288597770212687
6	0.1571428571428571	0.3871641941555206	0.3012335667222565
7	0.1857142857142857	-1.048666923889773	0.4140580908092333
8	0.2142857142857142	3.120264476854476	0.5944506389293999
9	0.2428571428571428	-7.345841355749013	0.8954195449517084
10	0.2714285714285714	21.70280765392563	1.423672512094435
11	0.2999999999999999	-53.80107024993921	2.418033988749894
12	0.3285714285714285	151.6092011470780	4.468464411386737
13	0.3571428571428571	-386.3627840131483	9.253284107618952
14	0.3857142857142856	1073.067579745055	22.57589276437623
15	0.4142857142857142	-2749.525556358890	71.33017193131029
16	0.4428571428571428	8150.531834160925	361.0724112537518
17	0.4714285714285714	-20258.59384396343	5777.029505307879
18	0.4999999999999999	28177.56598443316	0.26679209779727500
19	0.5285714285714285	-20258.59384396344	5777.029505307911
20	0.5571428571428571	8150.531834160958	361.0724112537528
21	0.5857142857142856	-2749.525556358926	71.33017193131040
22	0.6142857142857142	1073.067579745080	22.57589276437626
23	0.6428571428571428	-386.3627840131646	9.253284107618963
24	0.6714285714285714	151.6092011470856	4.468464411386741
25	0.6999999999999999	-53.80107024994343	2.418033988749896
26	0.7285714285714285	21.70280765392714	1.423672512094435
27	0.7571428571428571	-7.345841355748925	0.8954195449517090
28	0.7857142857142856	3.120264476853919	0.5944506389294002
29	0.8142857142857142	-1.04866692389211	0.4140580908092334
30	0.8428571428571428	0.3871641940543687	0.3012335667222566
31	0.8714285714285714	-0.2276973042267200	0.2288597770212688
32	0.8999999999999999	-0.42856691016573740-01	0.1819660112501051
33	0.9285714285714285	-0.1395228860540207	0.1520652534516435
34	0.9571428571428571	-0.1196270765493881	0.1343008578299263
35	0.9857142857142856	-0.1335978759152272	0.1260099818520260

table 22